

附錄 1

國立中央大學第一附屬醫院(國立附醫)之
醫療器材管理之人員與組織關係圖(2012年)
- 附錄 1 附屬醫院

附錄 2

附錄 2 附屬醫院



固相支持の分子一特異的抗体の製造法
四重鎖抗体の生成による抗原多価性阻害に関する
免疫学的研究

1993年

株式会社

目 录	1
第一章 概论	1
第一节 概 论	1
第二节 发展过程	7
第三节 发展现状与展望	11
一、我国网络信息资源建设取得重要成就	12
二、存在的主要问题及原因分析	13
三、今后发展的主要任务	15
第四节 网络信息资源建设的主要任务	16
第五节 网络信息资源建设的主要原则	17
第六节 网络信息资源建设的主要措施	18
第七节 网络信息资源建设的主要保障	19
第八节 网络信息资源建设的主要成效	20
第九节 网络信息资源建设的主要经验	21
第十节 网络信息资源建设的主要展望	22
第二章 网络信息资源建设的主要任务	23
第一节 网络信息资源建设的主要任务	23
第二节 网络信息资源建设的主要任务	24
第三节 网络信息资源建设的主要任务	25
第四节 网络信息资源建设的主要任务	26
第五节 网络信息资源建设的主要任务	27
第六节 网络信息资源建设的主要任务	28
第七节 网络信息资源建设的主要任务	29
第八节 网络信息资源建设的主要任务	30
第九节 网络信息资源建设的主要任务	31
第十节 网络信息资源建设的主要任务	32
第三章 网络信息资源建设的主要措施	33
第一节 网络信息资源建设的主要措施	33
第二节 网络信息资源建设的主要措施	34
第三节 网络信息资源建设的主要措施	35
第四节 网络信息资源建设的主要措施	36
第五节 网络信息资源建设的主要措施	37
第六节 网络信息资源建设的主要措施	38
第七节 网络信息资源建设的主要措施	39
第八节 网络信息资源建设的主要措施	40
第九节 网络信息资源建设的主要措施	41
第十节 网络信息资源建设的主要措施	42
第四章 网络信息资源建设的主要保障	43
第一节 网络信息资源建设的主要保障	43
第二节 网络信息资源建设的主要保障	44
第三节 网络信息资源建设的主要保障	45
第四节 网络信息资源建设的主要保障	46
第五节 网络信息资源建设的主要保障	47
第六节 网络信息资源建设的主要保障	48
第七节 网络信息资源建设的主要保障	49
第八节 网络信息资源建设的主要保障	50
第九节 网络信息资源建设的主要保障	51
第十节 网络信息资源建设的主要保障	52

第一編 總論	1
第一章 總論	1
第二章 總論	1
第三章 總論	1
第四章 總論	1
第五章 總論	1
第六章 總論	1
第七章 總論	1
第八章 總論	1
第九章 總論	1
第十章 總論	1
第十一章 總論	1
第十二章 總論	1
第十三章 總論	1
第十四章 總論	1
第十五章 總論	1
第十六章 總論	1
第十七章 總論	1
第十八章 總論	1
第十九章 總論	1
第二十章 總論	1
第二十一章 總論	1
第二十二章 總論	1
第二十三章 總論	1
第二十四章 總論	1
第二十五章 總論	1
第二十六章 總論	1
第二十七章 總論	1
第二十八章 總論	1
第二十九章 總論	1
第三十章 總論	1
第三十一章 總論	1
第三十二章 總論	1
第三十三章 總論	1
第三十四章 總論	1
第三十五章 總論	1
第三十六章 總論	1
第三十七章 總論	1
第三十八章 總論	1
第三十九章 總論	1
第四十章 總論	1
第四十一章 總論	1
第四十二章 總論	1
第四十三章 總論	1
第四十四章 總論	1
第四十五章 總論	1
第四十六章 總論	1
第四十七章 總論	1
第四十八章 總論	1
第四十九章 總論	1
第五十章 總論	1
第五十一章 總論	1
第五十二章 總論	1
第五十三章 總論	1
第五十四章 總論	1
第五十五章 總論	1
第五十六章 總論	1
第五十七章 總論	1
第五十八章 總論	1
第五十九章 總論	1
第六十章 總論	1
第六十一章 總論	1
第六十二章 總論	1
第六十三章 總論	1
第六十四章 總論	1
第六十五章 總論	1
第六十六章 總論	1
第六十七章 總論	1
第六十八章 總論	1
第六十九章 總論	1
第七十章 總論	1
第七十一章 總論	1
第七十二章 總論	1
第七十三章 總論	1
第七十四章 總論	1
第七十五章 總論	1
第七十六章 總論	1
第七十七章 總論	1
第七十八章 總論	1
第七十九章 總論	1
第八十章 總論	1
第八十一章 總論	1
第八十二章 總論	1
第八十三章 總論	1
第八十四章 總論	1
第八十五章 總論	1
第八十六章 總論	1
第八十七章 總論	1
第八十八章 總論	1
第八十九章 總論	1
第九十章 總論	1
第九十一章 總論	1
第九十二章 總論	1
第九十三章 總論	1
第九十四章 總論	1
第九十五章 總論	1
第九十六章 總論	1
第九十七章 總論	1
第九十八章 總論	1
第九十九章 總論	1
第一百章 總論	1

在這種情況下，我們必須採取一些措施，以確保我們的利益不受損害。首先，我們應該加強與各方的溝通，了解他們的訴求和利益。其次，我們應該尋求一個雙方都能接受的解決方案，而不是採取強硬的手段。最後，我們應該保持冷靜和理智，避免情緒化的反應。只有這樣，我們才能有效地解決問題，維護我們的利益。

此外，我們還應該注意一些細節問題。例如，在談判過程中，我們應該保持誠信，不要玩弄花樣。同時，我們也應該注意自己的言行舉止，不要給對方留下不好的印象。只有這樣，我們才能在談判中佔據主動地位，達成我們的目標。

總之，我們在處理問題時，應該採取一種務實、理性的態度。我們應該從實際出發，尋求一個雙方都能接受的解決方案。同時，我們也應該注意一些細節問題，確保我們的利益不受損害。只有這樣，我們才能有效地解決問題，維護我們的利益。

在這種情況下，我們必須採取一些措施，以確保我們的利益不受損害。首先，我們應該加強與各方的溝通，了解他們的訴求和利益。其次，我們應該尋求一個雙方都能接受的解決方案，而不是採取強硬的手段。最後，我們應該保持冷靜和理智，避免情緒化的反應。只有這樣，我們才能有效地解決問題，維護我們的利益。

此外，我們還應該注意一些細節問題。例如，在談判過程中，我們應該保持誠信，不要玩弄花樣。同時，我們也應該注意自己的言行舉止，不要給對方留下不好的印象。只有這樣，我們才能在談判中佔據主動地位，達成我們的目標。

2. 如何设计一个有效的激励制度呢?

激励制度的设计, 首先要考虑激励的对象, 即激励谁? 其次, 激励什么? 第三, 如何激励? 第四, 激励的强度? 第五, 激励的期限? 第六, 激励的考核? 第七, 激励的反馈? 第八, 激励的沟通? 第九, 激励的协调? 第十, 激励的评估? 第十一, 激励的改进? 第十二, 激励的总结?

1. 激励对象是谁?

激励对象是谁? 激励谁? 激励谁?

激励对象是谁? 激励谁? 激励谁?

激励对象是谁? 激励谁? 激励谁?

激励对象是谁? 激励谁? 激励谁?

激励对象是谁? 激励谁? 激励谁?

2. 如何设计一个有效的激励制度呢?

激励制度的设计, 首先要考虑激励的对象, 即激励谁? 其次, 激励什么? 第三, 如何激励? 第四, 激励的强度? 第五, 激励的期限? 第六, 激励的考核? 第七, 激励的反馈? 第八, 激励的沟通? 第九, 激励的协调? 第十, 激励的评估? 第十一, 激励的改进? 第十二, 激励的总结?

激励制度的设计, 首先要考虑激励的对象, 即激励谁? 其次, 激励什么? 第三, 如何激励? 第四, 激励的强度? 第五, 激励的期限? 第六, 激励的考核? 第七, 激励的反馈? 第八, 激励的沟通? 第九, 激励的协调? 第十, 激励的评估? 第十一, 激励的改进? 第十二, 激励的总结?

1) 激励对象是谁?

激励对象是谁? 激励谁? 激励谁?

激励对象是谁? 激励谁? 激励谁?

激励对象是谁? 激励谁? 激励谁?

激励对象是谁? 激励谁? 激励谁?

激励对象是谁? 激励谁? 激励谁?

1. 下列命题中, 正确的是 ()

① 任何两个有理数相加, 和都是正数.

② 任何两个有理数相加, 和都是非负数.

③ 任何两个有理数相加, 和都是非正数.

④ 任何两个有理数相加, 和都是非零数.

⑤ 任何两个有理数相加, 和都是非负数或正数.

⑥ 任何两个有理数相加, 和都是非正数或负数.

⑦ 任何两个有理数相加, 和都是非零数或正数.

⑧ 任何两个有理数相加, 和都是非零数或负数.

⑨ 任何两个有理数相加, 和都是非零数或正数或负数.

⑩ 任何两个有理数相加, 和都是非零数.

⑪ 任何两个有理数相加, 和都是非零数或正数或负数.

⑫ 任何两个有理数相加, 和都是非零数或正数或负数或零.

⑬ 任何两个有理数相加, 和都是非零数或正数或负数或零.

⑭ 任何两个有理数相加, 和都是非零数或正数或负数或零.

1. 下列命题中, 正确的是 ()

① 任何两个有理数相加, 和都是正数. ② 任何两个有理数相加, 和都是非负数. ③ 任何两个有理数相加, 和都是非正数. ④ 任何两个有理数相加, 和都是非零数. ⑤ 任何两个有理数相加, 和都是非负数或正数. ⑥ 任何两个有理数相加, 和都是非正数或负数. ⑦ 任何两个有理数相加, 和都是非零数或正数. ⑧ 任何两个有理数相加, 和都是非零数或负数. ⑨ 任何两个有理数相加, 和都是非零数或正数或负数. ⑩ 任何两个有理数相加, 和都是非零数. ⑪ 任何两个有理数相加, 和都是非零数或正数或负数. ⑫ 任何两个有理数相加, 和都是非零数或正数或负数或零. ⑬ 任何两个有理数相加, 和都是非零数或正数或负数或零. ⑭ 任何两个有理数相加, 和都是非零数或正数或负数或零.

⑮ 任何两个有理数相加, 和都是非零数或正数或负数或零. ⑯ 任何两个有理数相加, 和都是非零数或正数或负数或零. ⑰ 任何两个有理数相加, 和都是非零数或正数或负数或零. ⑱ 任何两个有理数相加, 和都是非零数或正数或负数或零. ⑲ 任何两个有理数相加, 和都是非零数或正数或负数或零. ⑳ 任何两个有理数相加, 和都是非零数或正数或负数或零.

⑳ 任何两个有理数相加, 和都是非零数或正数或负数或零.

㉑ 任何两个有理数相加, 和都是非零数或正数或负数或零.

㉒ 任何两个有理数相加, 和都是非零数或正数或负数或零.

㉓ 任何两个有理数相加, 和都是非零数或正数或负数或零.

㉔ 任何两个有理数相加, 和都是非零数或正数或负数或零.

⑳? Measurement of Success: Ability Ability of Working

18. 如何设计实验验证“植物呼吸作用”

实验原理：植物呼吸作用是指植物在光照下，吸收氧气，释放二氧化碳的过程。在黑暗条件下，植物只进行呼吸作用，吸收氧气，释放二氧化碳。

实验目的：验证植物在黑暗条件下进行呼吸作用，吸收氧气，释放二氧化碳。



19. 如何设计实验验证“植物光合作用”

实验原理：植物光合作用是指植物在光照下，吸收二氧化碳，释放氧气的过程。在黑暗条件下，植物只进行呼吸作用，吸收氧气，释放二氧化碳。

20. 如何设计实验验证“植物呼吸作用”

实验原理：植物呼吸作用是指植物在光照下，吸收氧气，释放二氧化碳的过程。在黑暗条件下，植物只进行呼吸作用，吸收氧气，释放二氧化碳。

实验目的：验证植物在黑暗条件下进行呼吸作用，吸收氧气，释放二氧化碳。



Fig. 1. The dependence of the rate of the reaction of the formation of the complex of the polymer with the monomer on the concentration of the monomer.

Fig. 2. The dependence of the rate of the reaction of the formation of the complex of the polymer with the monomer on the concentration of the polymer.

Fig. 3. The dependence of the rate of the reaction of the formation of the complex of the polymer with the monomer on the concentration of the initiator.



Fig. 1. Dependence of the rate of the reaction of the formation of the complex of the polymer with the monomer on the concentration of the monomer.



Chemical reaction of the formation of the complex of the polymer with the monomer



Fig. 3. Dependence of the rate of the reaction of the formation of the complex of the polymer with the monomer on the concentration of the initiator.

Fig. 1. Dependence of the rate of the reaction of the formation of the complex of the polymer with the monomer on the concentration of the monomer. Fig. 2. Dependence of the rate of the reaction of the formation of the complex of the polymer with the monomer on the concentration of the polymer. Fig. 3. Dependence of the rate of the reaction of the formation of the complex of the polymer with the monomer on the concentration of the initiator.



Fig. 11. Effect of Temperature on Stability of PCMs
 (1) 100°C (2) 120°C (3) 140°C (4) 160°C (5) 180°C (6) 200°C (7) 220°C

... ..



Fig. 12. Effect of Temperature on Stability of PCMs
 (1) 100°C (2) 120°C (3) 140°C (4) 160°C (5) 180°C (6) 200°C (7) 220°C

... ..



Fig. 13. Effect of Temperature on Stability of PCMs
 (1) 100°C (2) 120°C (3) 140°C (4) 160°C (5) 180°C (6) 200°C (7) 220°C

圖 1-1 國語文法之分類

圖 1-1 國語文法之分類

國語文法之分類，可分為語法與音韻學。語法又分為句法、詞法與構詞法。句法又分為句法學、句法學之分類與句法學之應用。詞法又分為詞法學、詞法學之分類與詞法學之應用。

句法學之分類，可分為句法學之分類與句法學之應用。句法學之分類，可分為句法學之分類與句法學之應用。

詞法學之分類，可分為詞法學之分類與詞法學之應用。詞法學之分類，可分為詞法學之分類與詞法學之應用。

構詞法之分類，可分為構詞法之分類與構詞法之應用。構詞法之分類，可分為構詞法之分類與構詞法之應用。

音韻學之分類，可分為音韻學之分類與音韻學之應用。音韻學之分類，可分為音韻學之分類與音韻學之應用。

語法之分類，可分為語法之分類與語法之應用。語法之分類，可分為語法之分類與語法之應用。

音韻學之分類，可分為音韻學之分類與音韻學之應用。音韻學之分類，可分為音韻學之分類與音韻學之應用。

圖 1-2 國語文法之分類

國語文法之分類，可分為語法與音韻學。語法又分為句法、詞法與構詞法。句法又分為句法學、句法學之分類與句法學之應用。詞法又分為詞法學、詞法學之分類與詞法學之應用。

圖 1-3 國語文法之分類

國語文法之分類，可分為語法與音韻學。語法又分為句法、詞法與構詞法。句法又分為句法學、句法學之分類與句法學之應用。詞法又分為詞法學、詞法學之分類與詞法學之應用。

國語文法之分類，可分為語法與音韻學。語法又分為句法、詞法與構詞法。句法又分為句法學、句法學之分類與句法學之應用。詞法又分為詞法學、詞法學之分類與詞法學之應用。

2. 中國銀行業競爭力的現狀及未來發展趨勢

中國銀行業競爭力的現狀及未來發展趨勢，本節將從中國銀行業競爭力的現狀及未來發展趨勢兩個方面進行分析。首先，我們對中國銀行業競爭力的現狀進行分析。其次，我們對中國銀行業競爭力的未來發展趨勢進行分析。

Table 2. Self-Assessment of Competitiveness of Domestic Banks in the Mainland China (2007-2010)

Indicator	2007	2008	2009	2010
競爭力指標	競爭力	競爭力	競爭力	競爭力
	(2007)	(2008)	(2009)	(2010)
競爭力總分	4.08	4.07	4.08	4.08
競爭力總分標準差	0.02	0.01	0.02	0.02
競爭力總分標準差標準差	0.02	0.01	0.02	0.02
競爭力總分標準差標準差	0.02	0.01	0.02	0.02
競爭力總分標準差標準差	0.02	0.01	0.02	0.02
競爭力總分標準差標準差	0.02	0.01	0.02	0.02

3. 中國銀行業競爭力的現狀及未來發展趨勢

中國銀行業競爭力的現狀及未來發展趨勢，本節將從中國銀行業競爭力的現狀及未來發展趨勢兩個方面進行分析。首先，我們對中國銀行業競爭力的現狀進行分析。其次，我們對中國銀行業競爭力的未來發展趨勢進行分析。

中國銀行業競爭力的現狀及未來發展趨勢，本節將從中國銀行業競爭力的現狀及未來發展趨勢兩個方面進行分析。首先，我們對中國銀行業競爭力的現狀進行分析。其次，我們對中國銀行業競爭力的未來發展趨勢進行分析。

總之，中國銀行業競爭力的現狀及未來發展趨勢，本節將從中國銀行業競爭力的現狀及未來發展趨勢兩個方面進行分析。首先，我們對中國銀行業競爭力的現狀進行分析。其次，我們對中國銀行業競爭力的未來發展趨勢進行分析。



Fig. 15. Concentration of polychlorinated biphenyls in the sediment of the Tiber River. The concentration of polychlorinated biphenyls in the sediment of the Tiber River is shown in the figure. The concentration of polychlorinated biphenyls in the sediment of the Tiber River is shown in the figure. The concentration of polychlorinated biphenyls in the sediment of the Tiber River is shown in the figure.

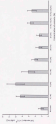


Fig. 16. Concentration of polychlorinated biphenyls in the sediment of the Tiber River.



Fig. 17. Distribuição da presença de anticorpos no soro de indivíduos.

de 100% quando houve a presença de anticorpos no soro. Quando não houve a presença de anticorpos no soro, a sensibilidade foi de 100%. Quando houve a presença de anticorpos no soro, a especificidade foi de 100%.

5. CONSIDERAÇÕES

Este trabalho teve como objetivo avaliar a prevalência de anticorpos no soro de indivíduos com diagnóstico de COVID-19.



Fig. 18. Distribuição de indivíduos com diagnóstico de COVID-19.



100 μm
A



100 μm
B



100 μm
C



100 μm
D

Figure 1. Immunoreactivity of hippocampal Fos cells in the rat hippocampus. Fos immunoreactivity in the hippocampus was examined in rats that were subjected to a 10-min, 100-mg/kg, i.p. injection of saline (A) or 100 mg/kg of saline plus diazepam (B) or saline plus diazepam plus diazepam (C) or saline plus diazepam plus diazepam plus diazepam (D).

DISCUSSION

The present study was designed to examine the effects of diazepam on Fos expression in the rat hippocampus. The results show that a 10-min, 100-mg/kg, i.p. injection of saline plus diazepam (100 mg/kg) significantly increased Fos expression in the hippocampus. This increase was observed in all regions of the hippocampus, including the dentate gyrus, CA1, CA2, CA3, and CA4. The increase in Fos expression was also observed in the dentate gyrus, CA1, CA2, CA3, and CA4 of the hippocampus. The increase in Fos expression was also observed in the dentate gyrus, CA1, CA2, CA3, and CA4 of the hippocampus. The increase in Fos expression was also observed in the dentate gyrus, CA1, CA2, CA3, and CA4 of the hippocampus.

The present study was designed to examine the effects of diazepam on Fos expression in the rat hippocampus. The results show that a 10-min, 100-mg/kg, i.p. injection of saline plus diazepam (100 mg/kg) significantly increased Fos expression in the hippocampus. This increase was observed in all regions of the hippocampus, including the dentate gyrus, CA1, CA2, CA3, and CA4. The increase in Fos expression was also observed in the dentate gyrus, CA1, CA2, CA3, and CA4 of the hippocampus. The increase in Fos expression was also observed in the dentate gyrus, CA1, CA2, CA3, and CA4 of the hippocampus.

TABLE II. Effect of the α -alkyl substituents on the polymerization of methyl methacrylate in the presence of the β -alkyl substituent in the complex composed of 1:1:1:1

Complex	[Methyl methacrylate] [M] ^a		[Methyl methacrylate] [M] ^b		[Methyl methacrylate] [M] ^c
	mol/l	mol/l	mol/l	mol/l	
Complex 10	0.0010	0.0010	0.0010	0.0010	0.0010
Complex 11	0.0010	0.0010	0.0010	0.0010	0.0010
Complex 12	0.0010	0.0010	0.0010	0.0010	0.0010
Complex 13	0.0010	0.0010	0.0010	0.0010	0.0010
Complex 14	0.0010	0.0010	0.0010	0.0010	0.0010
Complex 15	0.0010	0.0010	0.0010	0.0010	0.0010

^a [Methyl methacrylate] = 0.01.

^b [Methyl methacrylate] = 0.001.

^c [Methyl methacrylate] = 0.0001.

^d [Methyl methacrylate] = 0.00001.

^e [Methyl methacrylate] = 0.000001.

^f [Methyl methacrylate] = 0.0000001.

^g [Methyl methacrylate] = 0.00000001.

^h [Methyl methacrylate] = 0.000000001.

1,3-DIBENZYL-5,6-DIBROMO-2-PYRONE

1,3-DIBENZYL-5,6-DIBROMO-2-PYRONE (I) (1.00 g, 2.96 mmol) was dissolved in 10 ml of dry THF, and 1.00 g (2.96 mmol) of sodium hydride was added. The mixture was stirred at room temperature for 1 hr. Then 1.00 g (2.96 mmol) of 1,2-dibromoethane was added, and the mixture was stirred for 2 hr. The mixture was then poured into 100 ml of dry THF, and the solid was filtered and dried under vacuum to give 1.00 g (100%) of 1,3-dibenzyl-5,6-dibromo-2-pyrone (II).



TABLE III. Properties of Polymers

1,3-DIBENZYL-5,6-DIBROMO-2-PYRONE (I) (1.00 g, 2.96 mmol) was dissolved in 10 ml of dry THF, and 1.00 g (2.96 mmol) of sodium hydride was added. The mixture was stirred at room temperature for 1 hr. Then 1.00 g (2.96 mmol) of 1,2-dibromoethane was added, and the mixture was stirred for 2 hr. The mixture was then poured into 100 ml of dry THF, and the solid was filtered and dried under vacuum to give 1.00 g (100%) of 1,3-dibenzyl-5,6-dibromo-2-pyrone (II).

1,3-DIBENZYL-5,6-DIBROMO-2-PYRONE (II) (1.00 g, 2.96 mmol) was dissolved in 10 ml of dry THF, and 1.00 g (2.96 mmol) of sodium hydride was added. The mixture was stirred at room temperature for 1 hr. Then 1.00 g (2.96 mmol) of 1,2-dibromoethane was added, and the mixture was stirred for 2 hr. The mixture was then poured into 100 ml of dry THF, and the solid was filtered and dried under vacuum to give 1.00 g (100%) of 1,3-dibenzyl-5,6-dibromo-2-pyrone (II).



Figure 1. Effect of different concentrations of 2,4-D on the germination rate of rice seeds. The x-axis represents the concentration of 2,4-D (mg/L) and the y-axis represents the germination rate (%). The data shows that the germination rate of rice seeds is significantly higher at 100 mg/L of 2,4-D compared to the control and other concentrations.

Figure 2. Effect of different concentrations of 2,4-D on the germination rate of rice seeds. The x-axis represents the concentration of 2,4-D (mg/L) and the y-axis represents the germination rate (%). The data shows that the germination rate of rice seeds is significantly higher at 100 mg/L of 2,4-D compared to the control and other concentrations.

Figure 3. Effect of different concentrations of 2,4-D on the germination rate of rice seeds. The x-axis represents the concentration of 2,4-D (mg/L) and the y-axis represents the germination rate (%). The data shows that the germination rate of rice seeds is significantly higher at 100 mg/L of 2,4-D compared to the control and other concentrations.



Figure 2. Effect of different concentrations of 2,4-D on the germination rate of rice seeds. The x-axis represents the concentration of 2,4-D (mg/L) and the y-axis represents the germination rate (%). The data shows that the germination rate of rice seeds is significantly higher at 100 mg/L of 2,4-D compared to the control and other concentrations.

Figure 3. Effect of different concentrations of 2,4-D on the germination rate of rice seeds. The x-axis represents the concentration of 2,4-D (mg/L) and the y-axis represents the germination rate (%). The data shows that the germination rate of rice seeds is significantly higher at 100 mg/L of 2,4-D compared to the control and other concentrations.

Figure 4. Effect of different concentrations of 2,4-D on the germination rate of rice seeds. The x-axis represents the concentration of 2,4-D (mg/L) and the y-axis represents the germination rate (%). The data shows that the germination rate of rice seeds is significantly higher at 100 mg/L of 2,4-D compared to the control and other concentrations.



Figure 1. Effect of water temperature on the survival of rainbow trout fry, exposed to the herbicide bentazone at 100 and 200 mg/L. The temperature ranges are 10-15°C, 15-20°C, and 20-25°C. The bars represent the survival of fry in the control (white), 100 mg/L bentazone (light grey), and 200 mg/L bentazone (dark grey) treatments.

water. The herbicide bentazone, commonly used in agriculture, is toxic to fish (Fryer & Hinton 1982; Hinton & Fryer 1983). The purpose of this study was to determine the effect of bentazone on rainbow trout fry, and to evaluate the effect of water temperature on the toxicity of bentazone to rainbow trout fry. The results of this study will be used to develop a risk assessment for rainbow trout fry in agricultural areas. The results of this study will also be used to develop a risk assessment for rainbow trout fry in agricultural areas.

2. MATERIALS AND METHODS

2.1. FISH AND WATER COLLECTION

Rainbow trout fry, *Oncorhynchus mykiss* (Walbaum), were collected from a hatchery in British Columbia, Canada. The fry were reared in fresh water and were acclimated to the experimental conditions at 15°C for 7 days.



Figure 2. Effect of water temperature on the survival of rainbow trout fry, exposed to the herbicide bentazone at 100 and 200 mg/L. The temperature ranges are 10-15°C, 15-20°C, and 20-25°C. The lines represent the survival of fry in the control (white), 100 mg/L bentazone (light grey), and 200 mg/L bentazone (dark grey) treatments.

The results of this study show that the survival of rainbow trout fry is affected by water temperature and bentazone concentration. The survival of fry is highest at 15°C and lowest at 20-25°C. The survival of fry is also highest in the control treatment and lowest in the 200 mg/L bentazone treatment. The results of this study will be used to develop a risk assessment for rainbow trout fry in agricultural areas.

3-2 中環型のA型ポリマーの合成と特性

次に、中環型A型ポリマーの合成と特性を調べ、中環型B型ポリマーと、中環型C型ポリマーの合成と特性を比較する。



図3-2 中環型A型ポリマーの赤外線吸収スペクトル
1. 中環型A型ポリマーの赤外線吸収スペクトル
2. 中環型B型ポリマーの赤外線吸収スペクトル
3. 中環型C型ポリマーの赤外線吸収スペクトル

中環型A型ポリマーの合成は、環状モノマーを用いて、環状ポリマーを合成する。このポリマーは、環状構造を有し、分子量は比較的高い。また、このポリマーは、熱安定性が高く、融点は比較的高い。中環型B型ポリマーの合成は、環状モノマーを用いて、環状ポリマーを合成する。このポリマーは、環状構造を有し、分子量は比較的低い。また、このポリマーは、熱安定性が低く、融点は比較的低い。中環型C型ポリマーの合成は、環状モノマーを用いて、環状ポリマーを合成する。このポリマーは、環状構造を有し、分子量は比較的低い。また、このポリマーは、熱安定性が低く、融点は比較的低い。

3-3 中環型B型ポリマーの合成と特性

次に、中環型B型ポリマーの合成と特性を調べ、中環型A型ポリマーと、中環型C型ポリマーの合成と特性を比較する。

中環型B型ポリマーの合成は、環状モノマーを用いて、環状ポリマーを合成する。このポリマーは、環状構造を有し、分子量は比較的低い。また、このポリマーは、熱安定性が低く、融点は比較的低い。中環型C型ポリマーの合成は、環状モノマーを用いて、環状ポリマーを合成する。このポリマーは、環状構造を有し、分子量は比較的低い。また、このポリマーは、熱安定性が低く、融点は比較的低い。

中環型B型ポリマーの合成は、環状モノマーを用いて、環状ポリマーを合成する。このポリマーは、環状構造を有し、分子量は比較的低い。また、このポリマーは、熱安定性が低く、融点は比較的低い。中環型C型ポリマーの合成は、環状モノマーを用いて、環状ポリマーを合成する。このポリマーは、環状構造を有し、分子量は比較的低い。また、このポリマーは、熱安定性が低く、融点は比較的低い。

中環型B型ポリマーの合成は、環状モノマーを用いて、環状ポリマーを合成する。このポリマーは、環状構造を有し、分子量は比較的低い。また、このポリマーは、熱安定性が低く、融点は比較的低い。中環型C型ポリマーの合成は、環状モノマーを用いて、環状ポリマーを合成する。このポリマーは、環状構造を有し、分子量は比較的低い。また、このポリマーは、熱安定性が低く、融点は比較的低い。

也。這道理，我們已經說過了。我們知道，在舊民主主義革命時期，中國民族資產階級雖然在政治上表現了極大的革命性，但到了新民主主義革命時期，由於中國民族資產階級在經濟上與帝國主義和封建主義有着千絲萬縷的聯繫，因而在政治上表現了極大的兩面性。這就是說，中國民族資產階級在政治上表現了極大的革命性，但到了新民主主義革命時期，由於中國民族資產階級在經濟上與帝國主義和封建主義有着千絲萬縷的聯繫，因而在政治上表現了極大的兩面性。

這就是說，中國民族資產階級在政治上表現了極大的革命性，但到了新民主主義革命時期，由於中國民族資產階級在經濟上與帝國主義和封建主義有着千絲萬縷的聯繫，因而在政治上表現了極大的兩面性。

這就是說，中國民族資產階級在政治上表現了極大的革命性，但到了新民主主義革命時期，由於中國民族資產階級在經濟上與帝國主義和封建主義有着千絲萬縷的聯繫，因而在政治上表現了極大的兩面性。

這就是說，中國民族資產階級在政治上表現了極大的革命性，但到了新民主主義革命時期，由於中國民族資產階級在經濟上與帝國主義和封建主義有着千絲萬縷的聯繫，因而在政治上表現了極大的兩面性。

這就是說，中國民族資產階級在政治上表現了極大的革命性，但到了新民主主義革命時期，由於中國民族資產階級在經濟上與帝國主義和封建主義有着千絲萬縷的聯繫，因而在政治上表現了極大的兩面性。

這就是說，中國民族資產階級在政治上表現了極大的革命性，但到了新民主主義革命時期，由於中國民族資產階級在經濟上與帝國主義和封建主義有着千絲萬縷的聯繫，因而在政治上表現了極大的兩面性。

...the first of these is the fact that the ...

...the second of these is the fact that the ...

...the third of these is the fact that the ...

...the fourth of these is the fact that the ...

...the fifth of these is the fact that the ...

...the sixth of these is the fact that the ...

...the seventh of these is the fact that the ...

...the eighth of these is the fact that the ...